

05,11

## Сверхтвердая магнитная фаза в двумерном изингоподобном антиферромагнетике с большой одноионной анизотропией

© А.Г. Мелешко, Ф.Н. Клевец, Г.А. Гореликов, О.А. Космачев, Ю.А. Фридман<sup>¶</sup>

Крымский федеральный университет им. В.И. Вернадского,  
Симферополь, Россия

<sup>¶</sup> E-mail: yuriiifridman@gmail.com

(Поступила в Редакцию 14 февраля 2017 г.)

Исследована модель Изинга с фрустрированным обменным взаимодействием для ультратонкой сильно анизотропной антиферромагнитной пленки в среднеполюсовом приближении при низкой температуре. Показано, что при определенном соотношении величин материальных констант в системе может реализоваться пространственно-неоднородное состояние наряду с однородными состояниями: ферромагнитной, квадрупольной или сверхтвердой магнитной фазой. На основе анализа линий устойчивости построена фазовая диаграмма системы.

Ф.Н. Клевец и А.Г. Мелешко благодарят фонд Дмитрия Зимина „Династия“ за финансовую поддержку. Работа выполнена при финансовой поддержке РФФИ (проекты № 16-02-00069 а, 15-42-01007 р\_юг\_а, 16-42-910441 р\_а и 16-32-00098).

DOI: 10.21883/FTT.2017.09.44842.040

### 1. Введение

В последнее время повышенный интерес вызывают исследования магнитных материалов, в которых имеет место конкуренция обменного взаимодействия и одноионной анизотропии. Это связано с поиском новых квантовых состояний, существование которых было доказано теоретически для бозе-газов и которые могут реализоваться в магнетиках. В 2004 году было объявлено об экспериментальном обнаружении „сверхтвердого“ состояния  $^4\text{He}$  [1]. И хотя последующие исследования не подтвердили это открытие [2], работа [1] не только стимулировала разнообразные экспериментальные исследования в этом направлении, но и реанимировала работу по поиску новых квантовых состояний в магнетиках. Аналогом сверхтвердой фазы в бозе-конденсате для спиновых систем является промежуточное состояние между антиферромагнитной и спин-флоп фазой, в котором параметры порядка обеих фаз отличны от нуля, что было теоретически показано еще в 1970 г. [3]. Сорок лет спустя экспериментальные исследования газа из ионов рубидия, охлажденного до сверхнизких температур, показали, что он может находиться в сверхтвердом состоянии [4]. Необходимо отметить, что термин „сверхтвердый“ описывает не твердое тело, а скорее кристалл, обладающий сверхтекучестью. В данном случае [4] газообразный рубидий распределился по ячейкам, образованным полем оптической решетки, т.е. атомы были вынуждены образовать кристалл, по сути оставаясь разреженным газом.

Помимо газов в оптических решетках сверхтвердую магнитную фазу можно обнаружить и в других квантовых магнетиках [5–10]. После того как была доказана возможность реализации сверхтвердой фазы в двухподрешеточных спиновых системах [11,12], такие

системы стали одними из перспективных кандидатов для обнаружения данного состояния [11,13–19]. Например, к такого рода системам относится низкоразмерный гейзенберговский антиферромагнетик со спином единица, обладающий одноионной анизотропией [13]. Магнитными материалами, имеющими подходящую структуру и обладающими легкоплоскостной одноионной анизотропией, являются, например,  $\text{Ni}(\text{C}_2\text{H}_8\text{N}_2)_2\text{NO}_2(\text{ClO}_4)$  [20] и  $\text{Ni}(\text{C}_2\text{H}_8\text{N}_2)_2\text{Ni}(\text{CN}_4)$  [21]. Однако в указанных материалах сверхтвердое состояние не реализуется, поскольку одним из условий реализации сверхтвердой магнитной фазы является наличие в системе большой легкоплоскостной одноионной анизотропии, в то время как указанные материалы являются слабо анизотропными, т.е. при температурах, меньших температуры Нееля, они находятся в спонтанно упорядоченном состоянии. Во внешнем магнитном поле магнитные моменты в таких системах ориентируются по полю, и уже при достаточно малых полях в них реализуется ферромагнитное упорядочение.

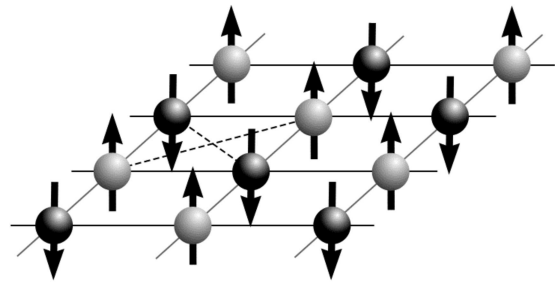
Материалами, обладающими большой одноионной анизотропией, являются, например, антиферромагнетики  $\text{CsFeBr}_3$  [22,23],  $\text{RbFeBr}_3$  [24] и  $\text{CsFeCl}_3$  [25]. В таких магнетиках квантовые свойства отдельных спинов в эффективном магнитном поле играют решающую роль в формировании динамических и термодинамических свойств [26,27]. Влияние большой одноионной анизотропии проявляется, в том числе, в квантовом сокращении спина, приводящем к тому, что среднее значение намагниченности (векторный параметр порядка) на узле равно нулю, и в системе реализуется дальний магнитный порядок тензорного типа — квадрупольная фаза. В этой фазе параметры порядка системы образуют тензор квадрупольных моментов, в отличие от векторных параметров порядка, характеризующих магнитное упорядочение

в дипольных фазах (ферромагнитной, антиферромагнитной и т. п.).

Также одним из перспективных кандидатов на обнаружение сверхтвердой магнитной фазы являются фрустрированные магнетики [28,29]. Простейшим примером такой системы может быть двухподрешеточный антиферромагнетик, в котором обменное взаимодействие между магнитными ионами в подрешетке отличается от междодрешеточного обменного взаимодействия. Как было показано ранее [13,28–32], в такой системе могут реализовываться разнообразные фазовые состояния: спиновая жидкость, сверхтвердая фаза, магнитные плато. Если рассматривать частный случай двухподрешеточного изинговского антиферромагнетика, которому соответствует, например  $\text{Ba}_2\text{CoGe}_2\text{O}_7$ , то все перечисленные фазовые состояния могут быть обнаружены в нем [29,30], однако области их существования и типы фазовых переходов могут существенно образом отличаться. Кроме того, очевидно, что реализация указанных выше состояний существенно зависит от величины и типа одноионной анизотропии [13,29–32].

Существует довольно много исследований сверхтвердой магнитной фазы для трехмерных двухподрешеточных антиферромагнетиков с большой легкоплоскостной одноионной анизотропией [12,13,29–35], т. е. без учета магнитодипольного взаимодействия. Однако магнитодипольное взаимодействие оказывает существенное влияние не только в обычных кристаллах, но и в спиновых конденсатах [36]. Такие системы (с существенным магнитодипольным взаимодействием) являются перспективными с точки зрения квантовой обработки информации [37,38] и квантовых вычислений [39]. К сожалению, нам не удалось найти работ, посвященных исследованию сверхтвердой магнитной фазы в двумерных системах. Очевидно, двумерность системы подразумевает существенное влияние магнитодипольного взаимодействия, которое может усиливать легкоплоскостную анизотропию и приводить к реализации пространственно-неоднородных состояний, например плоскопараллельных доменов [40–42] и вихревых структур [43–45]. При этом данные состояния могут реализовываться не только в ферромагнетиках, но также и в антиферромагнетиках [44–47].

Целью данной работы является исследование фазовых состояний и спектров элементарных возбуждений в ультратонкой (двумерной) сильно анизотропной антиферромагнитной пленке со спином единица и фрустрированным изингоподобным обменным взаимодействием (рис. 1) в области низких температур в приближении среднего поля. Мы рассматриваем случай, когда обменное взаимодействие приводит к ферромагнитному упорядочению в подрешетках, в то время как междодрешеточное обменное взаимодействие — антиферромагнитного типа. Вопрос о возможности использования приближения среднего поля в данном случае требует дополнительного обсуждения, которое будет приведено ниже в тексте статьи.



**Рис. 1.** Простая квадратная решетка двумерного двухподрешеточного изингоподобного антиферромагнетика со слабой одноионной анизотропией в отсутствие внешнего магнитного поля. Сплошные линии показывают расстояние между узлами в разных подрешетках, штриховые линии — расстояние между узлами в одной подрешетке.

## 2. Модель

Кристаллическая решетка рассматриваемой системы показана схематически на рис. 1. Как видно из рис. 1, наша модель описывает двумерную систему с эквивалентными подрешетками, состоящими из магнитных ионов со спином единица, формирующих шахматное упорядочение. Такая система может рассматриваться как двумерный двухподрешеточный антиферромагнетик. Расстояние между соседними подрешетками меньше, чем между соседними узлами в подрешетке, в результате чего энергия обменного взаимодействия между подрешетками больше, чем энергия обменного взаимодействия внутри подрешетки, что приводит к антиферромагнитному упорядочению.

Единичный спин является тем минимальным значением спина, для которого возможно существование одноосной одноионной анизотропии. В данном исследовании мы выбрали для рассмотрения анизотропию типа „легкая плоскость“, с базисной плоскостью  $XOY$ . Внешнее магнитное поле перпендикулярно базисной плоскости, т. е. параллельно оси  $OZ$ . Данную модель можно описать следующим гамильтонианом:

$$\mathcal{H} = -\frac{1}{2} \sum_{n,n'} J_{nn'} S_n^z S_{n'}^z - \frac{1}{2} \sum_{n,n'} V_{nn'}^{ij} S_n^i S_{n'}^j + \frac{1}{2} \sum_{n,m} \tilde{J}_{nm} S_n^z S_m^z - \frac{1}{2} \sum_{n,m} \tilde{V}_{nm}^{ij} S_n^i S_m^j + D \sum_n (S_n^z)^2 - H \sum_n S_n^z, \quad (1)$$

где  $J_{nn'}$  и  $\tilde{J}_{nm}$  — подрешеточный (ферромагнитный) и междодрешеточный (антиферромагнитный) обменные интегралы, соответственно, причем  $J_{nn'} < \tilde{J}_{nm}$ ,  $V_{nn'}^{ij}$  и  $\tilde{V}_{nm}^{ij}$  — компоненты тензоров подрешеточного и междодрешеточного магнитодипольного взаимодействия,  $D$  — константа одноионной анизотропии,  $H$  — внешнее магнитное поле в энергетических единицах,  $S_n^i$  —  $i$ -я проекция оператора спина в узле  $n$ . Фурье-компоненты тензоров магнитодипольного взаимодействия внутри подре-

шетки имеют вид [48]

$$\begin{aligned} V_k^{xx} &= \frac{A_0}{3} - \Omega_0 k \cos^2 \psi, & V_k^{yy} &= \frac{A_0}{3} - \Omega_0 k \sin^2 \psi, \\ V_k^{zz} &= -\frac{2}{3} A_0 + \Omega_0 k, & V_k^{xy} &= V_k^{yx} = -\frac{\Omega_0}{2} k \sin 2\psi, \\ V_k^{xz} &= V_k^{zx} = V_k^{yz} = V_k^{zy} = 0, \end{aligned} \quad (2)$$

где  $A_0 = \frac{3}{2} (g\mu_B)^2 \sum_{R \neq 0} R^{-3}$  и  $\Omega_0 = \frac{2\pi}{a^2} (g\mu_B)^2$  — параметры магнитодипольного взаимодействия,  $g$  — гиромагнитное отношение,  $\mu_B$  — магнетон Бора,  $a^2$  — „объем“ плоской элементарной ячейки в подрешетке,  $k$  — волновой вектор,  $\psi$  — угол, образуемый волновым вектором с осью  $OX$  в базисной плоскости  $XOY$ . Такой выбор способа задания ориентации волнового вектора в базисной плоскости произволен и не снижает общности рассматриваемой задачи. Он был сделан с единственной целью упростить последующие вычисления. Выражения для Фурье-компонент тензора магнитодипольного взаимодействия между подрешетками имеют вид, аналогичный (2), с учетом замены параметров магнитодипольного взаимодействия на  $\tilde{A}_0$  и  $\tilde{\Omega}_0$ , характеризующие межподрешеточное магнитодипольное взаимодействие. Причем, как было отмечено выше, имеют место следующие соотношения:  $\tilde{A}_0 > A_0$  и  $\tilde{\Omega}_0 > \Omega_0$ .

В дальнейшем мы предполагаем, что энергия обменных взаимодействий много меньше энергии одноионной анизотропии. Таким образом, имеет место следующее соотношение материальных параметров системы:  $D \gg \tilde{J}_0 > J_0 \gg \tilde{A}_0 > A_0$ . При этом величина внешнего магнитного поля является варьируемым параметром. Кроме того, мы рассматриваем случай низких температур ( $T \rightarrow 0$ ).

### 3. Однородные состояния

Предположим, что внешнее магнитное поле настолько велико, что зеемановская энергия преобладает над энергиями других взаимодействий ( $H \gg D \gg \tilde{J}_0 > J_0 \gg \tilde{A}_0 > A_0$ ). Очевидно, что в таком случае магнитные моменты всех узлов ориентируются вдоль поля, т.е. поведение системы можно свести к поведению ферромагнетика. Выделяя среднее поле, гамильтониан (1) можно представить в следующем виде:  $\mathcal{H} = \mathcal{H}_0 + \mathcal{H}_{\text{int}}$ , где  $\mathcal{H}_{\text{int}}$  — гамильтониан взаимодействия, а  $\mathcal{H}_0$  — одноузельный гамильтониан, который в данном случае имеет следующий вид:

$$\begin{aligned} \mathcal{H}_0 &= -\left\{ H + \left[ J_0 - \frac{2}{3} A_0 - \frac{1}{2} \left( \tilde{J}_0 + \frac{2}{3} \tilde{A}_0 \right) \right] \langle S^z \rangle \right\} \\ &\quad \times \sum_n S_n^z + D \sum_n (S_n^z)^2. \end{aligned} \quad (3)$$

В рассматриваемом случае использование приближения среднего поля вполне обосновано, поскольку мы рассматриваем случай низких температур, когда температурные флуктуации малы и практически не влияют на состояние системы. Что же касается квантовых флуктуаций, то они конечны, поскольку сходимость интеграла флуктуаций для всех однородных состояний обеспечива-

ется учетом магнитодипольного взаимодействия [48–51] и влиянием внешнего магнитного поля. Поэтому теорема Мермина–Вагнера о реализации дальнего магнитного порядка в двумерных системах не применима для рассматриваемой модели. Таким образом, можно утверждать, что приближение среднего поля можно использовать при рассмотрении данной модели. Кроме того, как было доказано в [26,27], приближение среднего поля можно использовать при рассмотрении систем любой размерности. Также необходимо отметить работу [5], где было показано, что приближение среднего поля дает правильные результаты для модели Гейзенберга с фрустрированным обменным взаимодействием для спина 1/2, в частности при исследовании сверхтвердой магнитной фазы.

Решая уравнение Шредингера с гамильтонианом (3), найдем уровни энергии магнитного иона и его собственные функции

$$\begin{aligned} E_{1,-1} &= \mp H + D \mp \left[ J_0 - \frac{2}{3} A_0 - \frac{1}{2} \left( \tilde{J}_0 + \frac{2}{3} \tilde{A}_0 \right) \right] \langle S^z \rangle; \\ E_0 &= 0; \end{aligned} \quad (4)$$

$$|\Psi(1)\rangle = |1\rangle; \quad |\Psi(0)\rangle = |0\rangle; \quad |\Psi(-1)\rangle = |-1\rangle. \quad (5)$$

Как видно из (4), когда энергия внешнего магнитного поля превосходит энергии всех других взаимодействий в системе, нижайшим энергетическим уровнем является  $E_1$ , а, следовательно,  $|1\rangle$  — основное состояние системы. На базисе собственных функций системы построим операторы Хаббарда  $X^{MM'} = |\Psi(M)\rangle \langle \Psi(M')|$ , описывающие переход магнитного иона из состояния  $M$  в состояние  $M'$  [51–54]. В рассматриваемом случае сильного внешнего магнитного поля спиновые операторы связаны с операторами Хаббарда простыми соотношениями

$$S^z = X^{11} - X^{-1-1};$$

$$S^+ = \sqrt{2}(X^{10} + X^{0-1}); \quad S^- = (S^+)^{\dagger}. \quad (6)$$

При этом среднее значение намагниченности на узле  $\langle S^z \rangle = 1$ . Такое значение параметра порядка характерно для ферромагнитного упорядочения, реализация которого обусловлена сильным внешним полем.

Чтобы определить границы существования ферромагнитного состояния, исследуем его динамические особенности, а именно рассмотрим спектры элементарных возбуждений, которые можно найти, рассмотрев полюса функции Грина системы [52–54]:  $G^{\alpha\beta}(n, \tau, n', \tau') = -\langle \hat{T} \tilde{X}_n^{\alpha}(\tau) \tilde{X}_{n'}^{\beta}(\tau') \rangle$  где  $\alpha$  и  $\beta$  — так называемые корневые векторы, определяемые алгеброй операторов Хаббарда [12,53,55],  $\hat{T}$  — оператор Вика,  $\tilde{X}_n^{\alpha}(\tau) = e^{\mathcal{H}\tau} X_n^{\alpha} e^{-\mathcal{H}\tau}$  — оператор Хаббарда в представлении взаимодействия,  $\mathcal{H} = \mathcal{H}_0 + \mathcal{H}_{\text{int}}$  — полный гамильтониан системы. В терминах операторов Хаббарда одноузельный гамильтониан имеет диагональный вид  $\mathcal{H}_0 = \sum_M E_M X_n^{MM}$ , а гамильтониан взаимодействия можно представить следующим образом:

$$\mathcal{H}_{\text{int}} = -\frac{1}{2} \sum_{\substack{n,n' \\ \alpha,\beta}} \{c(\alpha) \hat{B}_{nn'} c(\beta)\} X_n^{\alpha} X_{n'}^{\beta}, \quad (7)$$

где  $\mathbf{e}$  — вектор, компоненты которого определяются из связи спиновых операторов с операторами Хаббарда (6), а матрица  $\hat{B}_{nn'}$  — блочная матрица,  $\hat{B}_{nn'} = \hat{B}_{11} \otimes \hat{B}_{22}$ , где  $\hat{B}_{11} = J_{nn'} - \frac{J_0}{2} + V_{nn'}^{zz} + \tilde{V}_{nn'}^{zz}$ , а

$$\hat{B}_{22} = \begin{pmatrix} V_{nn'}^{xx} + \tilde{V}_{nn'}^{xx} - V_{nn'}^{yy} - \tilde{V}_{nn'}^{yy} - 2i(V_{nn'}^{xy} + \tilde{V}_{nn'}^{xy}) & V_{nn'}^{xx} + \tilde{V}_{nn'}^{xx} + V_{nn'}^{yy} + \tilde{V}_{nn'}^{yy} \\ V_{nn'}^{xx} + \tilde{V}_{nn'}^{xx} + V_{nn'}^{yy} + \tilde{V}_{nn'}^{yy} & V_{nn'}^{xx} + \tilde{V}_{nn'}^{xx} - V_{nn'}^{yy} - \tilde{V}_{nn'}^{yy} + 2i(V_{nn'}^{xy} + \tilde{V}_{nn'}^{xy}) \end{pmatrix}.$$

Решение дисперсионного уравнения для ферромагнитной фазы позволяет найти спектр элементарных возбуждений, который в длинноволновом пределе имеет следующий вид:

$$\varepsilon_{FM}(k) = \sqrt{\begin{aligned} & (H - D + J_0 - \frac{\tilde{J}_0}{2} - A_0 - \frac{2}{3}\tilde{A}_0)^2 + \\ & + (H - D + J_0 - \frac{\tilde{J}_0}{2} - A_0 - \frac{2}{3}\tilde{A}_0)(\Omega_0 + \tilde{\Omega}_0)k \end{aligned}}. \quad (8)$$

Прежде всего отметим, что в спектре (8) имеется корневая зависимость от волнового вектора, обусловленная учетом магнитодипольного взаимодействия. Такая зависимость приводит к сходимости интеграла флуктуаций, а, следовательно, и к стабилизации дальнего магнитного порядка в двумерной системе. Очевидно, спектр (8) становится бездисперсионным, если пренебречь магнитодипольным взаимодействием, что характерно для систем, в которых учитывается только изингоподобное обменное взаимодействие. Необходимо отметить, что если внешнее магнитное поле нарушает симметрию системы, например поле перпендикулярно оси  $OZ$  (что не соответствует рассматриваемому случаю, так как поле параллельно оси  $OZ$ ), то изинговское обменное взаимодействие также может приводить к дисперсии магнонов [56].

Кроме того, видно, что энергия магнонов не зависит от ориентации волнового вектора и принимает минимальное значение при  $k = 0$ . Линия устойчивости ферромагнитной фазы определяется из обращения в ноль энергетической щели в спектре (8) и имеет вид

$$H_{FM}^C = D - J_0 + \frac{\tilde{J}_0}{2} + A_0 + \frac{2}{3}\tilde{A}_0. \quad (9)$$

Таким образом, учет магнитодипольного взаимодействия изменяет закон дисперсии элементарных возбуждений в ферромагнитной фазе, однако не приводит к возникновению неоднородного состояния. Т.е. влияние магнитодипольного взаимодействия сводится к статической перенормировке линии устойчивости ферромагнитной фазы — уменьшению области существования ферромагнитного состояния по сравнению с результатами, полученными для трехмерных моделей без учета магнитодипольного взаимодействия [33].

Теперь исследуем случай, когда энергия внешнего магнитного поля много меньше энергии одноионной анизотропии ( $H \ll D$ ). В этом случае магнитным моментам энергетически выгодно ориентироваться в базисной плоскости. Одноузельный гамильтониан в этом состоянии совпадает с одноузельным гамильтонианом (3). Реше-

ние уравнения Шредингера дает энергетический спектр магнитного иона (4) и собственные функции (5). Однако в исследуемом случае нижайшим энергетическим уровнем является  $E_0$ , т.е. в системе происходит инверсия энергетических уровней. При этом состояние  $|0\rangle$  является основным состоянием системы. Это приводит к тому, что среднее значение намагниченности на один узел равно нулю,  $\langle S^z \rangle = 0$ . Таким образом мы получили новое состояние с нулевой намагниченностью, не являющееся при этом парамагнитным, поскольку для него отличны от нуля компоненты тензора квадрупольных моментов, и параметры порядка имеют следующий вид:

$$\langle S^z \rangle = 0; \quad q_2^0 = -2; \quad q_2^2 = q_2^{xy} = q_2^{xz} = q_2^{yz} = 0, \quad (10)$$

где  $q_2^i = \langle O_{2n}^i \rangle$ ,  $O_{2n}^0 = 3(S_n^z)^2 - S(S+1)$ ,  $O_{2n}^2 = (S_n^x)^2 - (S_n^y)^2$ ,  $O_{2n}^{ij} = [S_n^i, S_n^j]_+$  ( $i, j = x, y, z$ ;  $i \neq j$ ) — операторы Стивенса [57]. Это так называемое квадрупольное состояние [58,59], описываемое тензорными параметрами порядка. Геометрическим образом этого состояния является эллипс, главная ось которого лежит в плоскости  $XOY$ .

Подставляя (10) в (4), можно получить энергетические уровни магнитного иона в квадрупольной фазе в более простом виде

$$E_{\pm 1} = D \mp H; \quad E_0 = 0. \quad (11)$$

Решая дисперсионное уравнение в квадрупольном состоянии, найдем спектр элементарных возбуждений, который в длинноволновом пределе имеет следующий вид:

$$\varepsilon_{QU}^2(k) = D^2 + H^2 - 4D \left[ \frac{2}{3}(A_0 + \tilde{A}_0) + (\Omega_0 + \tilde{\Omega}_0)k \right] - 2 \sqrt{\begin{aligned} & H^2 D \left[ D - \frac{8}{3}(A_0 + \tilde{A}_0) + 4(\Omega_0 + \tilde{\Omega}_0)k \right] + \\ & + \frac{4}{9} D^2 (A_0 - \tilde{A}_0) [(A_0 - \tilde{A}_0) + 3(\Omega_0 - \tilde{\Omega}_0)k] \end{aligned}}. \quad (12)$$

Видно, что спектр (12) имеет корневую зависимость от волнового вектора и не зависит от его ориентации. Причем, как и в ферромагнитной фазе, зависимость от волнового вектора возникает благодаря учету магнитодипольного взаимодействия. Минимум энергии элементарных возбуждений наблюдается при нулевом значении  $k$ . Линию устойчивости квадрупольного состояния получим из обращения в ноль энергетической щели в спектре (12)

$$H_{QU}^C = D - \frac{2}{3}(A_0 + 3\tilde{A}_0). \quad (13)$$

В данном случае, как и в случае сильного магнитного поля, влияние магнитодипольного взаимодействия также

не приводит к появлению пространственно-неоднородных фазовых состояний, но проявляется в статической перенормировке спектров, уменьшая область существования квадрупольной фазы, по сравнению с результатами, полученными для объемных систем [33].

#### 4. Сверхтвердая магнитная фаза

Теперь рассмотрим случай промежуточных полей, когда  $H_{QU}^C < H < H_{FM}^C$ . В этом случае конкуренция легкоплоскостной анизотропии, усиливаемой магнитодипольным взаимодействием, внешнего магнитного поля и обменных взаимодействий приводит к тому, что магнитные моменты подрешеток ориентированы под некоторым углом к направлению внешнего поля. Предположим, что в разных подрешетках отклонение магнитных моментов от оси квантования различно, т. е. система находится не в спин-флоп фазе, а в сверхтвердом состоянии [4,12,31,32].

Введем системы координат, привязанные к подрешеткам (рис. 2). Тогда намагниченность первой подрешетки будет составлять некоторый угол  $\vartheta_1$  с направлением внешнего магнитного поля (т. е. осью  $OZ$ ), а намагниченность второй подрешетки — угол  $\vartheta_2$  с осью  $OZ$ . Для простоты будем считать, что намагниченности подрешеток лежат в плоскости  $XOZ$ . Это упрощает рассмотрение, но совершенно не влияет на общность рассматриваемой задачи.

Исследование данного состояния удобно проводить в повернутой системе координат, когда намагниченности подрешеток ориентированы вдоль оси  $OZ$ . Повернем систему координат, связанную с первой подрешеткой, на угол  $\vartheta_1$  вокруг оси  $OY$ , а систему координат, связанную со второй подрешеткой — на угол  $\vartheta_2$ . При этом гамильтониан (1) можно представить в виде суммы двух слагаемых, одно из которых диагонально в терминах операторов Хаббарда (6),  $\mathcal{H}_{diag} \sim X^{MM}$ , а второе — содержит члены, пропорциональные недиагональным операторам Хаббарда,  $\mathcal{H}_{nondiag} \sim X^{MM'}$ .

В данном случае удобно диагонализировать гамильтониан, используя метод бозонизации операторов Хаббарда [60]. Основная идея этого метода состоит в том, чтобы построить бозевский аналог гамильтониана системы, т. е. некоторым образом связать операторы Хаббарда с операторами рождения и уничтожения так, чтобы определенная часть матричных элементов совпадала с матричными элементами гамильтониана (1). Однако проблема состоит в том, что размерность физического пространства операторов Хаббарда равна трем (для  $S = 1$ ), тогда как гильбертово пространство операторов рождения и уничтожения бесконечномерное. Эту проблему удастся решить путем построения псевдохаббардовских операторов, которые действуют в бесконечномерном гильбертовом пространстве состояний и определенным образом связаны как с операторами рождения и уничтожения квазичастиц, так и с операторами Хаббарда [60]. Используя данный подход, мы можем представить гамильтониан (1) через бозе-операторы

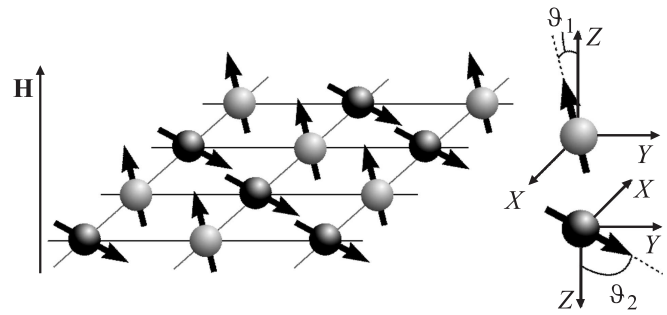


Рис. 2. Ориентация магнитных моментов подрешеток в сверхтвердой магнитной фазе.

рождения и уничтожения, в результате чего для  $i$ -той подрешетки получим

$$\mathcal{H}_i = \mathcal{H}_i^{(1)} + \mathcal{H}_i^{(2)}, \tag{14}$$

где  $\mathcal{H}_i^{(1)}$  содержит только слагаемые, линейные по операторам рождения и уничтожения магнонов, а  $\mathcal{H}_i^{(2)}$  представляет собой гамильтониан идеального газа магнонов. Поскольку среднее от линейных слагаемых обращается в ноль, то они не несут никакого физического смысла, и можно положить амплитуды при этих слагаемых равными нулю, что приводит к системе уравнений на равновесное значение углов ориентации магнитных моментов подрешеток  $\vartheta_1$  и  $\vartheta_2$

$$\begin{cases} H - D \cos \vartheta_1 + (J_0 - A_0) \cos^2 \vartheta_1 + \frac{1}{2} \left( \tilde{J}_0 - \frac{2}{3} \tilde{A}_0 - \frac{\tilde{A}_0 \sin \vartheta_2}{6 \sin \vartheta_1} \right) \cos \vartheta_1 \cos \vartheta_2 = 0; \\ H - D \cos \vartheta_2 + (J_0 - A_0) \cos^2 \vartheta_2 - \frac{1}{2} \left( \tilde{J}_0 + \frac{2}{3} \tilde{A}_0 + \frac{\tilde{A}_0 \sin \vartheta_1}{6 \sin \vartheta_2} \right) \cos \vartheta_1 \cos \vartheta_2 = 0. \end{cases} \tag{15}$$

Диагонализуя гамильтониан  $\mathcal{H}_i^{(2)}$  с помощью стандартного  $u-v$  преобразования [61], получим

$$\mathcal{H}_i^{(2)} = \sum_k \varepsilon_{SS_1}^i(k) \alpha_k^\dagger \alpha_k + \sum_k \varepsilon_{SS_2}^i(k) \beta_k^\dagger \beta_k, \tag{16}$$

где  $\varepsilon_{SS_1}^i$  и  $\varepsilon_{SS_2}^i$  — спектры низкочастотных и высокочастотных магнонов для  $i$ -ой подрешетки,  $\alpha$  и  $\alpha^\dagger$  — бозе-операторы, соответствующие переходу иона из состояния  $E_1$  в состояние  $E_0$ , и наоборот, а  $\beta$  и  $\beta^\dagger$  — соответствуют переходу из состояния  $E_1$  в состояние  $E_{-1}$ , и наоборот. Точный вид этих спектров невозможно найти аналитически, но можно найти выражения для спектров по теории возмущений вблизи линий устойчивости ферромагнитного состояния. Вблизи этой линии

низкочастотный спектр для  $i$ -ой подрешетки имеет вид

$$\begin{aligned} (\varepsilon_{SS_i}^i)^2 = & \left\{ H - D + J_0 + \frac{(-1)^{i+1}}{2} \tilde{J}_0 - A_0 - \frac{2}{3} \tilde{A}_0 \right. \\ & + \frac{1}{4} [(\Omega_0 \cos \vartheta_i - \tilde{\Omega}_0 \cos \vartheta_{i+1}) \cos \vartheta_i \cos^2 \psi \\ & + 3(\Omega_0 + \tilde{\Omega}_0) \sin^2 \psi] k + \frac{1}{8} [J_0 \sin \vartheta_i + (-1)^i \tilde{J}_0 \sin \vartheta_i] k^2 \left. \right\} \\ & \times \left\{ H - D + J_0 + \frac{(-1)^{i+1}}{2} \tilde{J}_0 - A_0 - \frac{\tilde{A}_0}{6} \right. \\ & + \frac{1}{4} [3(\Omega_0 \cos \vartheta_i - \tilde{\Omega}_0 \cos \vartheta_{i+1}) \cos \vartheta_i \cos^2 \psi \\ & + (\Omega_0 + \tilde{\Omega}_0) \sin^2 \psi] k + \frac{3}{8} (J_0 \sin \vartheta_i + (-1)^i \tilde{J}_0 \sin \vartheta_{i+1}) k^2 \left. \right\}. \end{aligned} \quad (17)$$

Рассмотрим эти спектры вблизи линии фазового перехода в ферромагнитную фазу, когда  $\vartheta_i$  практически равны нулю. В этом случае линия потери устойчивости сверхтвердой фазы определяется уравнением (17) для второй подрешетки ( $i = 2$ )

$$H_{SS}^C = D - J_0 + \frac{\tilde{J}_0}{2} + A_0 + \frac{2}{3} \tilde{A}_0. \quad (18)$$

Видно, что выражения (9) и (18) совпадают, что указывает на то, что фазовый переход из сверхтвердого состояния в ферромагнитную фазу является фазовым переходом второго рода, а поле (9) или (18) — это поле фазового перехода. Это также видно из системы уравнений (15). Угол  $\vartheta_2$  отклонения намагниченности от внешнего магнитного поля становится равным нулю при  $H = H_{FM}^C$ , в то время как намагниченность первой подрешетки ориентируется по полю раньше.

Очевидно, что спектры (17) существенно зависят от угла ориентации волнового вектора в базисной плоскости  $\psi$ . Так, в зависимости от величины угла  $\psi$ , знак линейного по волновому вектору слагаемого может меняться. Причем, когда это слагаемое будет отрицательным, мы получим так называемый „неоднородный“ спектр элементарных возбуждений [40] — знак при линейных и квадратичных по волновому вектору слагаемых будет разным, в результате чего минимуму энергии элементарных возбуждений соответствует не  $k = 0$ , а некоторое критическое значение  $k = k^*$ , которое для спектра (17) имеет вид

$$\begin{aligned} k_i^* = & \left[ H - D + J_0 + \frac{(-1)^{i+1}}{2} \tilde{J}_0 - A_0 - \frac{7}{12} \tilde{A}_0 \right] \\ & \times (\tilde{\Omega}_0 \cos 2\psi - \Omega_0) / \left\{ [\tilde{J}_0 + (-1)^i J_0] \sin^2 \vartheta_i \right. \\ & \left. + \frac{3(\Omega_0 - \tilde{\Omega}_0 \cos 2\psi)^2 + (\Omega_0^2 - \tilde{\Omega}_0^2) \sin^2 2\psi}{4(H - D + J_0 + \frac{\tilde{J}_0}{2} - A_0 - \frac{7}{12} \tilde{A}_0)} \right\}. \end{aligned} \quad (19)$$

Из соотношения (19) следует, что период неоднородности, обратно пропорциональный  $k^*$ , существенно зависит не только от угла ориентации волнового вектора, но и от соотношений между параметрами магнитодипольного взаимодействия. Анализ этого выражения показывает, что критическое значение волнового вектора  $k_i^*$  для обеих подрешеток принимает положительное значение, если  $\Omega_0 < \tilde{\Omega}_0 \cos 2\psi$ . Из этого соотношения легко получить условие на угол ориентации волнового вектора в базисной плоскости, при выполнении которого  $k_i^* > 0$

$$\cos 2\psi > \frac{\Omega_0}{\tilde{\Omega}_0}, \quad \tilde{\Omega}_0 \geq \Omega_0. \quad (20)$$

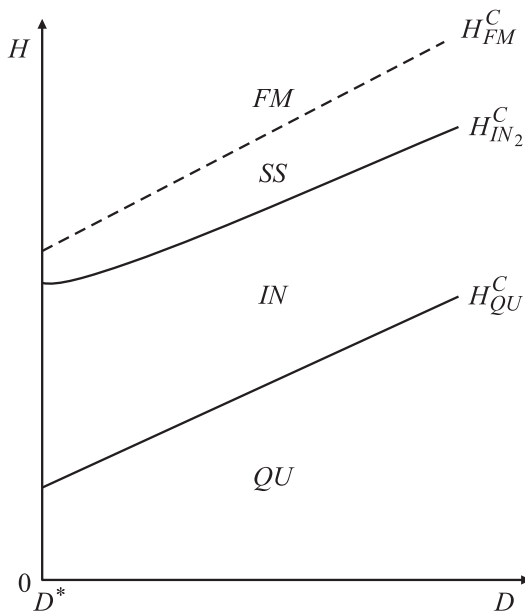
Таким образом, при выполнении условия (20) минимум энергии элементарных возбуждений (17) наблюдается при отличных от нуля значениях волнового вектора, при этом система находится в неоднородной магнитной фазе с периодом неоднородности  $1/k^*$ . Чтобы найти линию устойчивости сверхтвердого магнитного состояния вблизи ферромагнитной фазы, положим энергетическую щель в спектрах (17) равной нулю. Учитывая (19), получаем для первой и второй подрешеток соответственно

$$\begin{aligned} H_{IN_1}^C = & D - J_0 - \frac{\tilde{J}_0}{2} + A_0 + \frac{2}{3} \tilde{A}_0 \\ & - \frac{1}{2\sqrt{2}} \sqrt{\frac{D - J_0 + A_0}{\tilde{J}_0 - J_0}} (\tilde{\Omega}_0 \cos 2\psi - \Omega_0), \end{aligned} \quad (21)$$

$$\begin{aligned} H_{IN_2}^C = & D - J_0 + \frac{\tilde{J}_0}{2} + A_0 + \frac{2}{3} \tilde{A}_0 \\ & - \frac{1}{2\sqrt{2}} \sqrt{\frac{D - J_0 + A_0}{\tilde{J}_0 + J_0}} (\tilde{\Omega}_0 \cos 2\psi - \Omega_0). \end{aligned} \quad (22)$$

Видно, что  $H_{IN_1}^C < H_{IN_2}^C$ , т.е. вторая подрешетка переходит в пространственно-неоднородное состояние при больших полях. Следовательно, поле перехода из ферромагнитной фазы в неоднородное состояние определяется выражением (22) с периодом неоднородности  $1/k_2^*$ .

Реализация пространственно-неоднородной фазы в рассматриваемой модели определяется  $z$ -ой проекцией намагниченности: чем больше эта проекция намагниченности, тем больше влияние магнитодипольного взаимодействия, определяющего реализацию пространственно-неоднородной магнитной фазы. Однако увеличение внешнего магнитного поля (и, следовательно,  $z$ -ой проекции намагниченности) приводит к фазовому переходу из пространственно-неоднородной фазы в однородную сверхтвердую магнитную фазу при  $H > H_{IN_2}^C$  из-за конкуренции между внешним магнитным полем и легкоплоскостной анизотропией совместно с изингоподобным обменным взаимодействием. В этом случае линия устойчивости (22) реализуется вблизи ферромагнитной фазы — как видно из выражений (9) и (22), значения  $H_{FM}^C$  и  $H_{IN_2}^C$  близки. При этом вопрос о фазовых состояниях вблизи линии устойчивости квадратной фазы (13) остается открытым. Магнитный мо-



**Рис. 3.** Качественная фазовая диаграмма исследуемой системы.  $FM$  обозначает ферромагнитное состояние,  $QU$  — квадрупольную фазу,  $SS$  — сверхтвердую магнитную фазу,  $IN$  — пространственно-неоднородное состояние.  $D^* = 2J_0 - \tilde{J}_0/2$  [33,34]. Сплошные линии обозначают фазовые переходы первого рода, штриховая линия — фазовый переход второго рода.

мент отличен от нуля при  $H \gtrsim H_{QU}^C$ , но все еще слишком мал из-за сильного влияния большой легкоплоскостной одноионной анизотропии. Это приводит к тому, что влияние магнитодипольного взаимодействия пренебрежимо мало вблизи линии устойчивости квадрупольной фазы. Поэтому аналитический анализ области устойчивости пространственно-неоднородной фазы вблизи  $H_{QU}^C$  невозможен. Этот анализ можно провести только численно, но это выходит за рамки настоящего аналитического исследования.

Используя полученные результаты, можно построить качественную фазовую диаграмму рассматриваемой системы (рис. 3). Пунктирная линия на рис. 3 обозначает фазовый переход второго рода из сверхтвердой магнитной фазы в ферромагнитную фазу, в то время как сплошные линии обозначают фазовые переходы первого рода. Необходимо напомнить, что мы рассматриваем случай большой легкоплоскостной одноионной анизотропии, энергия которой превосходит энергию обменного взаимодействия, что приводит к реализации квадрупольной фазы в слабом внешнем магнитном поле. Минимальное значение константы анизотропии, позволяющее реализоваться квадрупольной фазе, было найдено, например в [33,34]:  $D^* = 2J_0 - \tilde{J}_0/2$ . При меньших значениях константы одноионной анизотропии в системе может реализоваться антиферромагнитная или квадрупольно-антиферромагнитная фаза, но мы не рассматриваем этот случай.

## 5. Заключение

В работе исследована двумерная двухподрешеточная модель Изинга с ферромагнитным внутривидовым и антиферромагнитным междовидовым обменными взаимодействиями и большой легкоплоскостной одноионной анизотропией. Показано, что в сильных магнитных полях подрешетки становятся эквивалентными, и в системе реализуется ферромагнитное состояние, характеризуемое векторным параметром порядка — намагниченностью. В случае слабого внешнего магнитного поля система переходит в квадрупольное состояние с нулевой намагниченностью, описываемое тензорным параметром порядка. В рассматриваемом случае учет магнитодипольного взаимодействия не влияет на динамику системы, проявляясь лишь в статической перенормировке энергетических уровней магнитного иона, а также в виде аддитивного слагаемого в линиях устойчивости однородных состояний (9) и (13). Однако эти аддитивные слагаемые могут быть довольно большими для некоторых редкоземельных сплавов [61,62].

Показано, что при произвольных соотношениях между зеемановской энергией и энергией анизотропии антиферромагнитное упорядочение между узлами различных подрешеток приводит к возникновению сверхтвердой магнитной фазы, т.е. углы ориентации магнитных моментов различных подрешеток различны и определяются системой уравнений (15). При этом магнитодипольное взаимодействие проявляется как в статической перенормировке этих углов, усиливая влияние легкоплоскостной одноионной анизотропии, так и приводит к реализации в системе пространственно-неоднородного состояния. Пространственно-неоднородное состояние может реализоваться лишь при выполнении условий (20), в противном случае система находится в мономонном состоянии. Также найдены линия устойчивости (22) и период неоднородности вблизи линии фазового перехода из сверхтвердой фазы в пространственно-неоднородную фазу.

Необходимо отметить, что теоретические результаты, полученные в настоящей работе, качественно согласуются с недавними экспериментальными наблюдениями [4], в которых были обнаружены следующие фазы:

а) фазы с различными значениями проекций магнитного момента для различных подрешеток, показанные на рис. 2, *b* и 5 в [4]. Данным состояниям в нашем случае соответствует сверхтвердая магнитная фаза;

б) спиновое состояние с  $|m_z\rangle = 0$ , показанное на рис. 2, *a* и 5 в [4]; в нашем случае соответствующее квадрупольной фазе;

в) и, наконец, ферромагнитная и пространственно-неоднородная фазы, показанные на рис. 7 в [4].

Все фазовые состояния, перечисленные выше, наблюдались экспериментально в вырожденном спиновом бозе-газе ионов  $^{87}\text{Rb}$ .

## Список литературы

- [1] E. Kim, M.H.W. Chan. *Nature* **427**, 225 (2004).
- [2] D.Y. Kim, M.H.W. Chan. *Phys. Rev. Lett.* **109**, 155301 (2012).
- [3] T. Matsuda, T. Tsuneto. *Suppl. Prog. Theor. Phys.* **46**, 411 (1970).
- [4] M. Vengalattore, J. Guzman, S.R. Leslie, F. Serwane, D.M. Stamper-Kurn. *Phys. Rev. A* **81**, 053612 (2010).
- [5] Y. Murakami, R. Oka, H. Aoki. *Phys. Rev. B* **88**, 224404 (2013).
- [6] J. Ye, Y. Chen. *Nuclear Physics B* **869** [FS], 242 (2013).
- [7] D. Rossini, V. Giovannetti, R. Fazio. *Phys. Rev. B* **83**, 140411(R) (2011).
- [8] T. Giamarchi, C. Rüegg, O. Tchernyshyov. *Nature Phys.* **4**, 198 (2008).
- [9] T. Nikuni, M. Oshikawa, A. Oosawa, H. Tanaka. *Phys. Rev. Lett.* **84**, 5868 (2000).
- [10] G. Misguich, M. Oshikawa. *J. Phys. Soc. Jpn.* **73**, 3429 (2004).
- [11] Kwai-Kong Ng, T.K. Lee. *Phys. Rev. Lett.* **97**, 127204 (2006).
- [12] Yu.A. Fridman, O.A. Kosmachev, Ph.N. Klevets. *Eur. Phys. J. B* **81**, 185 (2011).
- [13] P. Sengupta, C.D. Batista. *Phys. Rev. Lett.* **98**, 227201 (2007).
- [14] N. Laflorencie, F. Mila. *Phys. Rev. Lett.* **99**, 027202 (2007).
- [15] J.-D. Picon, A.F. Albuquerque, K.P. Schmidt, N. Laflorencie, M. Troyer, F. Mila. *Phys. Rev. B* **78**, 184418 (2008).
- [16] Pochung Chen, Chen-Yen Lai, Min-Fong Yang. *Phys. Rev. B* **81**, 020409(R) (2010).
- [17] A.F. Albuquerque, N. Laflorencie, J.-D. Picon, F. Mila. *Phys. Rev. B* **83**, 174421 (2011).
- [18] K.P. Schmidt, J. Dorier, A.M. Läuchli, F. Mila. *Phys. Rev. Lett.* **100**, 090401 (2008).
- [19] D. Yamamoto, I. Danshita. *Phys. Rev. B* **88**, 014419 (2013).
- [20] J.P. Renard, M. Verdaguer, L.P. Regnault, W.A.C. Erkelens, J. Rossat-Mignod, J. Ribas, W.G. Stirling, C. Vettier. *J. Appl. Phys.* **63**, 3538 (1988).
- [21] M. Orendáč, A. Orendáčová, J. Černák, A. Feher, P.J.C. Signore, M.W. Meisel, S. Merah, M. Verdaguer. *Phys. Rev. B* **52**, 3435 (1995).
- [22] Y. Tanaka, H. Tanaka, T. Ono, A. Oosawa, K. Morishita, K. Iio, T. Kato, H.A. Katori, M.I. Bartashevich, T. Goto. *J. Phys. Soc. Jpn.* **70**, 3068 (2001).
- [23] B. Dorner, D. Visser, U. Steigenberger, K. Kakurai, M. Steiner. *Zeitschrift Phys.* **72**, 487 (1988).
- [24] A. Harrison, D. Visser. *J. Phys.: Condens. Matter* **4**, 6977 (1992).
- [25] M. Steiner, K. Kakurai, W. Knop, B. Dorner, R. Pynn, U. Happek, P. Day, G. McLeen. *Solid State Commun.* **38**, 1179 (1981).
- [26] D. Ueltschi. *Phys. Rev. E* **91**, 042132 (2015).
- [27] D. Ueltschi. *J. Mathematic. Phys.* **54**, 083301 (2013).
- [28] L. Balents. *Nature* **464**, 199 (2010).
- [29] J. Romhányi, F. Pollmann, K. Penc. *Phys. Rev. B* **84**, 184427 (2011).
- [30] S. Miyahara, N. Furukawa. *J. Phys. Soc. Jpn.* **80**, 073708 (2011).
- [31] D. Peters, I.P. McCulloch, W. Selke. *Phys. Rev. B* **79**, 132406 (2009).
- [32] L. Seabra, N. Shannon. *Phys. Rev. B* **83**, 134412 (2011).
- [33] Ph.N. Klevets, O.A. Kosmachev, Yu.A. Fridman. *JMMM* **330**, 91 (2013).
- [34] Ph.N. Klevets, O.A. Kosmachev, Yu.A. Fridman. *JMMM* **348**, 68 (2013).
- [35] Б.А. Иванов. *ФНТ* **31**, 841 (2005).
- [36] Y. Eto, H. Saito, T. Hirano. *Phys. Rev. Lett.* **112**, 185301 (2014).
- [37] D. Jaksch, J.I. Cirac, P. Zoller, S.L. Rolston, R. Côté, M.D. Lukin. *Phys. Rev. Lett.* **85**, 2208 (2000).
- [38] D. DeMille. *Phys. Rev. Lett.* **88**, 067901 (2002).
- [39] A. Micheli, G.K. Brennen, P. Zoller. *Nature Phys.* **2**, 341 (2006).
- [40] R.P. Erickson, D.L. Mills. *Phys. Rev. B* **46**, 861 (1992).
- [41] Yu.A. Fridman, D.A. Matunin, Ph.N. Klevets, O.A. Kosmachev. *JMMM* **321**, 3782 (2009).
- [42] В.Г. Барьяхтар, Б.А. Иванов. *ЖЭТФ* **72**, 1504 (1977).
- [43] R. Antos, Y. Otani, J. Shibata. *J. Phys. Soc. Jpn.* **77**, 031004 (2008).
- [44] В.Г. Барьяхтар, Б.А. Иванов, М.В. Четкин. *УФН* **146**, 417 (1985).
- [45] Б.А. Иванов, Г.Г. Аванесян, А.В. Хвальковский, Н.Е. Кулагин, К.Э. Заспел, К.А. Звездин. *Письма в ЖЭТФ* **91**, 190 (2010).
- [46] В.А. Иванов, А.К. Kolezhuk, G.M. Wysin. *Phys. Rev. Lett.* **76**, 511 (1996).
- [47] E.G. Galkina, A.Yu. Galkin, B.A. Ivanov, F. Nori. *Phys. Rev. B* **81**, 184413 (2010).
- [48] С.В. Малеев. *ЖЭТФ* **70**, 2374 (1976).
- [49] Yu.A. Fridman, D.V. Spirin. *Phys. Status Solidi B* **231**, 165 (2002).
- [50] Yu.A. Fridman, D.V. Spirin, C.N. Alexeyev, D.A. Matiunin. *Eur. Phys. J. B* **26**, 185 (2002).
- [51] Yu.A. Fridman, D.V. Spirin, Ph.N. Klevets. *JMMM* **253**, 105 (2002).
- [52] В.В. Вальков. *ТМФ* **76**, 766 (1988).
- [53] Р.О. Зайцев. *ЖЭТФ* **68**, 207 (1975).
- [54] Ю.Н. Мицай, Ю.А. Фридман. *ТМФ* **81**, 1194 (1989).
- [55] В.В. Вальков, Т.А. Валькова, С.Г. Овчинников. *ЖЭТФ* **88**, 550 (1985).
- [56] K.W.H. Stevens. *Proc. Phys. Soc. A* **65**, 209 (1952).
- [57] H.H. Chen, P.M. Levy. *Phys. Rev. B* **7**, 4267 (1973).
- [58] Yu.A. Fridman, O.A. Kosmachev, Ph.N. Klevets. *JMMM* **320**, 435 (2008).
- [59] В.В. Вальков, Т.А. Валькова. *ЖЭТФ* **99**, 1881 (1991).
- [60] C. Kittel. *Quantum theory of solids*. Wiley, N.Y. (1987). 523 p.
- [61] *Magnetic Properties of Rare Earth Metals* / Ed. R.J. Elliott. Plenum Press, London (1972). 425 p.
- [62] P. Campbell. *Permanent Magnet Materials and Their Application* (Cambridge Studies in Magnetism). University Press, Cambridge (1996). 207 p.